# 海洋レーダによる沿岸海上風補正

# 久木幸治(琉球大理)

Hisaki Y.,2017: Sea-surface wind correction using HF ocean radar and its impact on coastal wave prediction. *Journal of Atmospheric and Oceanic Technology*. doi: 10.1175/JTECH-D-16-0249.1.

#### 海洋レーダで推定できるパラメータ

- 流速:一次散乱
- 風向:一次散乱
- 波浪スペクトル(波高、周期、波向き)
- 風速

#### 海洋レーダで推定できるパラメータ

- 波浪スペクトル(波高、周期、波向き)
- > 二次散乱を使用。 高いSN比要求
- ➤ 精度は波浪推算と比べて?
- 風速

#### 海洋レーダで推定できるパラメータ: 風速

- 二次散乱から推定:風波エネルギーをもとめる。 (Dexter and Theodoridis (1982); Heron et al.(1985); Green et al. (2009); Zeng et al. (2016))
- 一次散乱のみから求める: 較正必要(Stewart and Barnum (1975); Shen et al. (2012); Kirincich (2016))
- 多周波数レーダ(Vesecky et al. (2004))
- データ同化による風ベクトル推定:Lewis et al.(1997);Barth et al.(2011) 表層流

## 波浪推算について

- 精度は風データに依存
- 風データ: 再解析データや予報データなど
- 波高について
- ▶ 風速
- ▶ 島嶼沿岸域など:吹走距離が風向に大き く依存

## 内容

- 海洋レーダから風向を求める。
- 再解析データの風速・風向を補正
- 島嶼沿岸(沖縄島)域の波浪推算への影響

## 風向推定原理

$$\sigma_1(m\omega_B) \propto S(-2m\mathbf{k}_0), \qquad m = \pm 1,$$

$$R = \frac{\sigma_1(\omega_B)}{\sigma_1(-\omega_B)} = \frac{S(-2\mathbf{k}_0)}{S(2\mathbf{k}_0)} = \frac{D(\phi_B - \theta_w)}{D(\phi_B - \theta_w + \pi)}$$

$$F_q(\theta_w, \beta) = \log(D(\pi + \theta_w - \phi_B)) - \log(D(\theta_w - \phi_B)) - \log(R) = 0,$$

$$D(\theta) = \operatorname{sech}^2(\beta \theta)$$

#### θωとβが未知数

 $\sigma_1$ :一次散乱,  $\mathbf{k}$ :波数ベクトル  $S(\mathbf{k})$ :波浪スペクトル,  $\mathbf{k}_0$ :電波波数ベクトル  $\theta_w$ :風向,  $\phi_B$ :ビーム方向  $\omega_B$ :Bragg 周波数,  $D(\theta)$ :方向分布

## 風向推定手順

全てのドップラースペクトルから

$$\sum F_q^2(\theta_w, \boldsymbol{\beta})$$

が最小となるように、 $\beta T = \beta$ 、 $\theta T = \theta W$ を求める。

- 一次散乱の値を格子点に補間し、一次散乱比Rを求める。
- 二基のレーダのRがあれば、β及びθwを求める。
- 一基のレーダのRしかない場合、β=βτとしてθwを求める。

θωはθτに近い方を選ぶ。

その他の格子点では、θwを補間。解析対象領域の端では、再解析風向を使用

$$(V_c - V_r)^2 \longrightarrow \min$$

$$(\nabla \cdot \mathbf{V}_c - \nabla \cdot \mathbf{V}_r)^2 \longrightarrow \min,$$

風速の補正が小さい 水平発散の補正が小さい

Vc:補正風、Vr:再解析風

$$Q = \sum_{i,j} (V_c(i,j) - V_r(i,j))^2 + \lambda_w \sum_{i,j} (\nabla \cdot \mathbf{V}_c(i,j) - \nabla \cdot \mathbf{V}_r(i,j))^2$$
$$= \cdot \sum_{i,j} \Delta_{i,j}^2 + \lambda_w \sum_{i,j} D_v(i,j)^2$$

$$\mathbf{V}_r(i,j) = V_r(i,j)(\cos(\theta_r(i,j),\sin(\theta_r(i,j)))$$

$$\mathbf{V}_c(i,j) = ((V_r(i,j) + \Delta_{i,j})(\cos(\theta_w(i,j),\sin(\theta_w(i,j))).$$

Qが最小となるよう風速補正量Δi,jを求める。

Vr:再解析風、Vc:補正風、λw:重み

$$\partial Q/\partial \Delta_{i,j}=0.$$

$$(1 + \lambda_{w} \Psi) \Delta_{i,j} = \lambda_{w} \left[ \frac{\cos(\theta_{w}(i,j))}{2\Delta x} (D_{v}(i+1,j) - D_{v}(i-1,j)) + \frac{\sin(\theta_{w}(i,j))}{2\Delta y} (D_{v}(i,j+1) - D_{v}(i,j-1)) + \Psi \Delta_{i,j} \right]$$

右辺はΔi,jによらない:GS法

$$\Psi = \frac{1}{2} \left( \frac{\cos^2(\theta_w(i,j))}{\Delta x^2} + \frac{\sin^2(\theta_w(i,j))}{\Delta y^2} \right)$$

 $\Delta_{i,j}$ : 風速補正量、 $\Delta_{x,y}$ : 格子間隔

λw: 重み、Dv: 補正風と再解析風の水平発散差の差分

表現

## 波浪推算

$$\frac{\partial F}{\partial t} + \nabla \cdot (\mathbf{C}_g F) = S$$

$$H_p = 4M_0^{1/2}$$
 波高

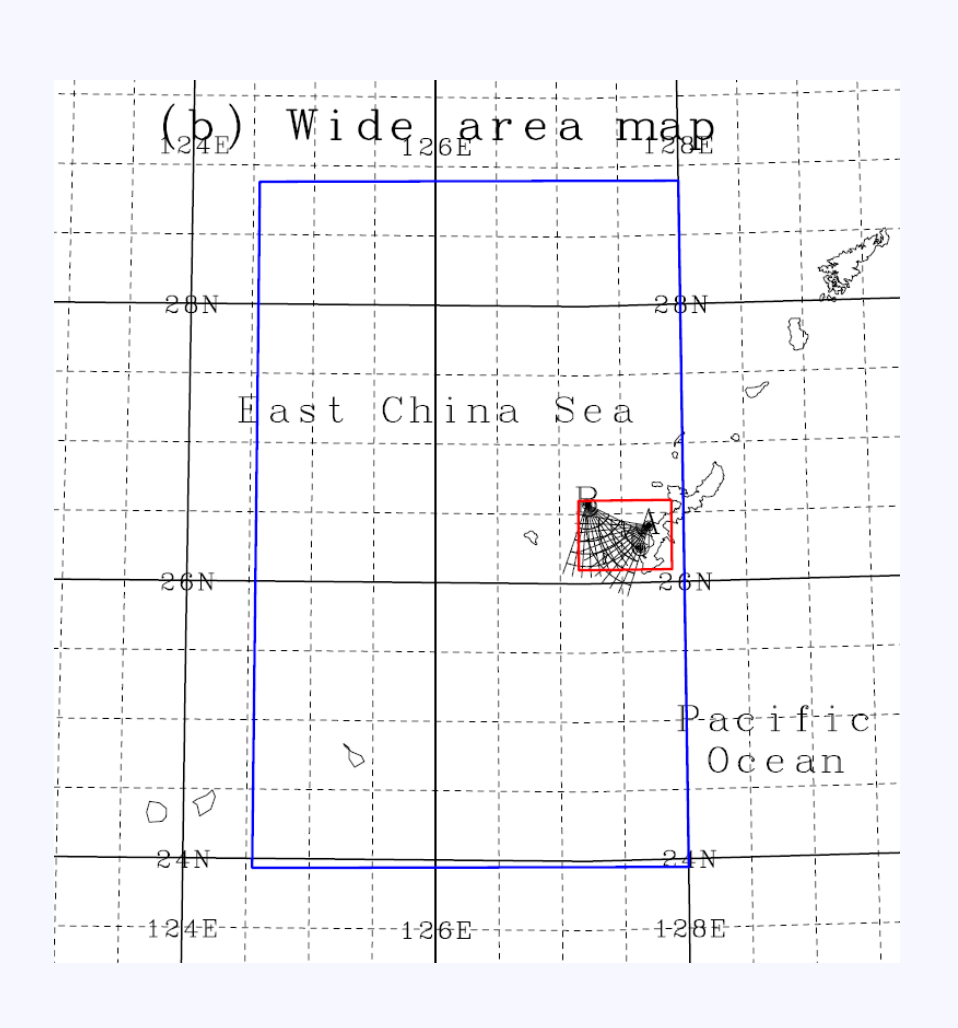
$$T_p = M_0^{-1} M_{-1}$$
 周期

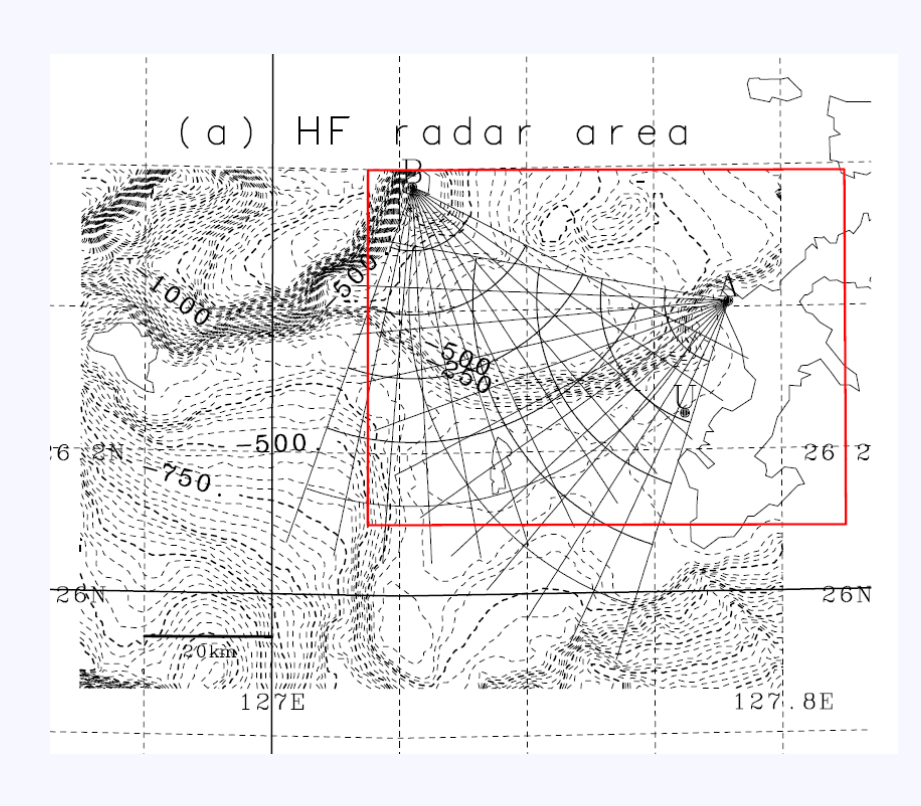
$$M_q = \int_0^\infty \int_0^{2\pi} f^q F(f, \theta) d\theta df.$$

F=F(f,θ,x,t):スペクトル, t:時間, x:位置,f:周波数,θ:方向、

Cg: 群速度ベクトル,S:ソース関数:

## 波浪推算領域





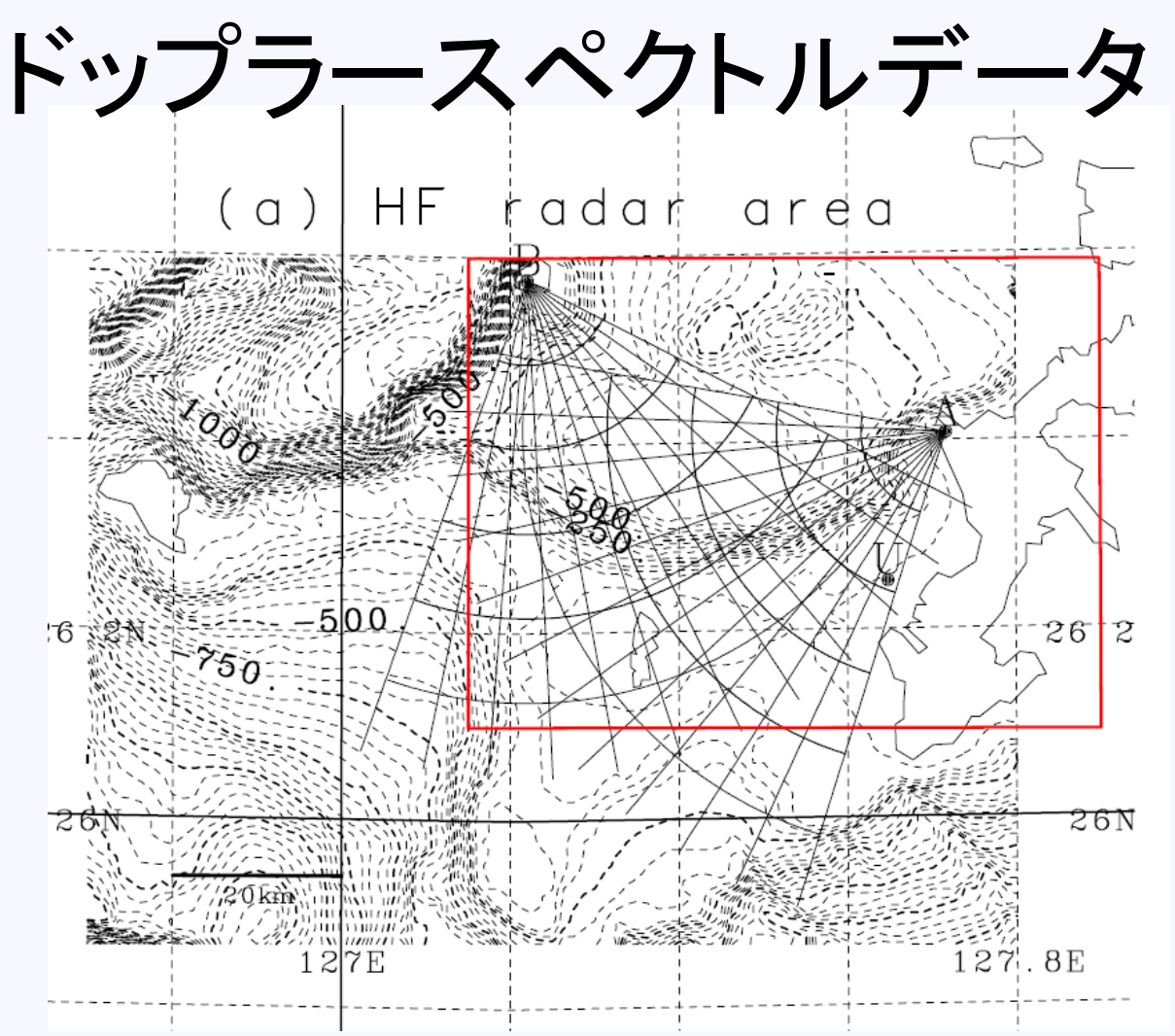
0.05度

0.01度

#### 使用データ

- 再解析データ: NCEPーCFS風
- 空間分解能:約0.3度
- 6時間ごとの解析値と1時間ごとの予報値
- 予報値の誤差を6時間ごとの解析値で補間し、 1時間ごとの風データを作成

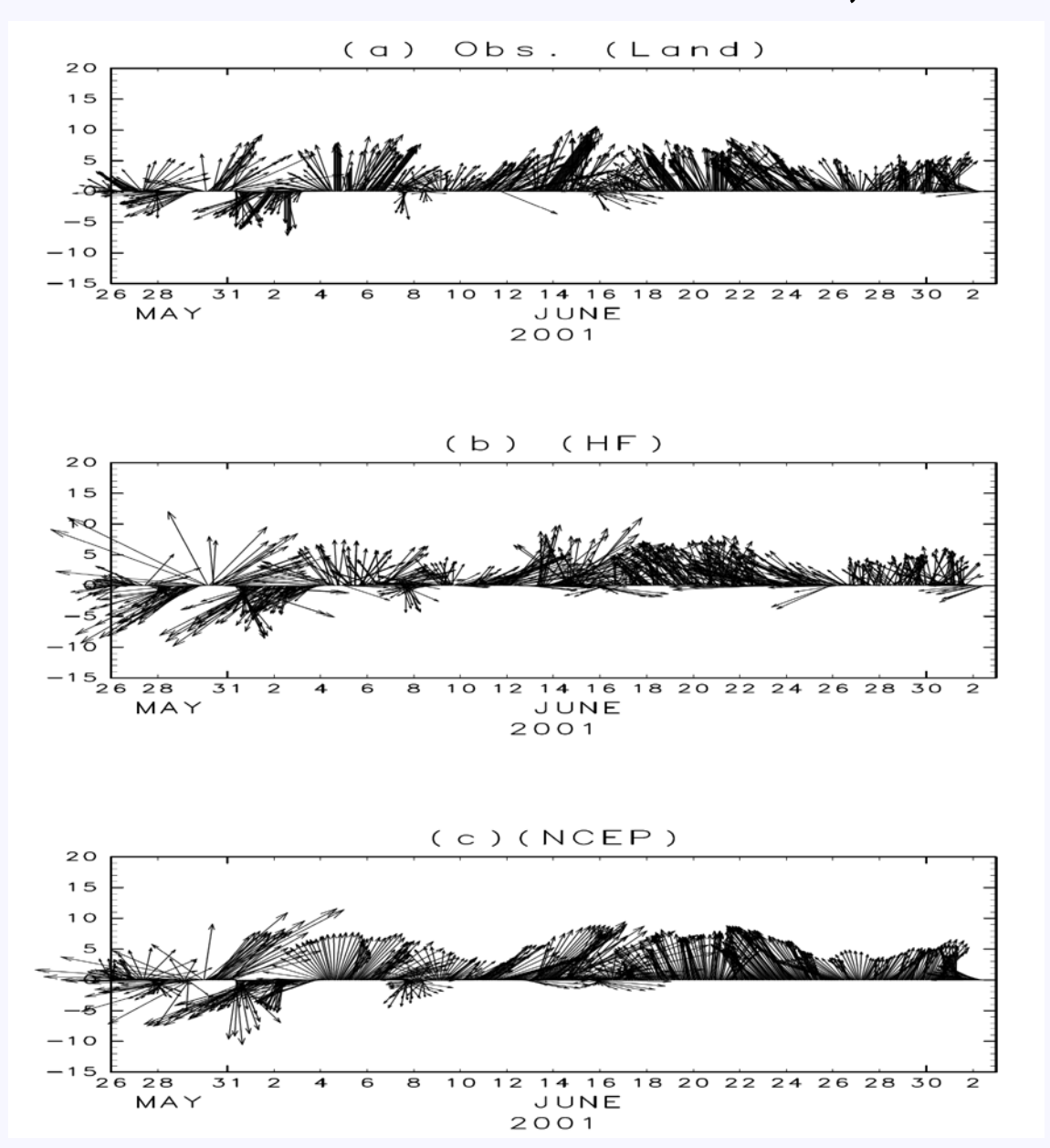
- ドップラースペクトル
- 解析対象期間:2001年5月26日から7月2日

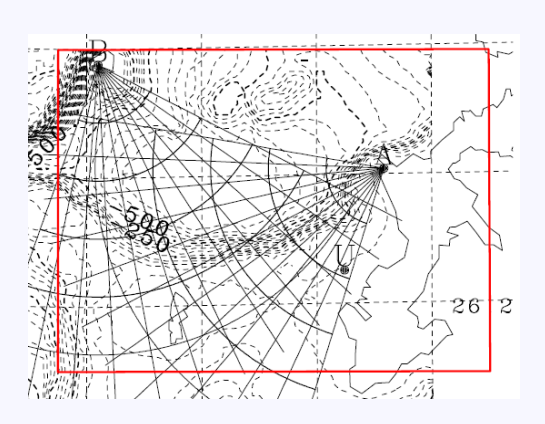


0.01度間隔格子点で風向推定 高分解波浪推算のみHFレーダ補正風使用 A,B:レーダ位置

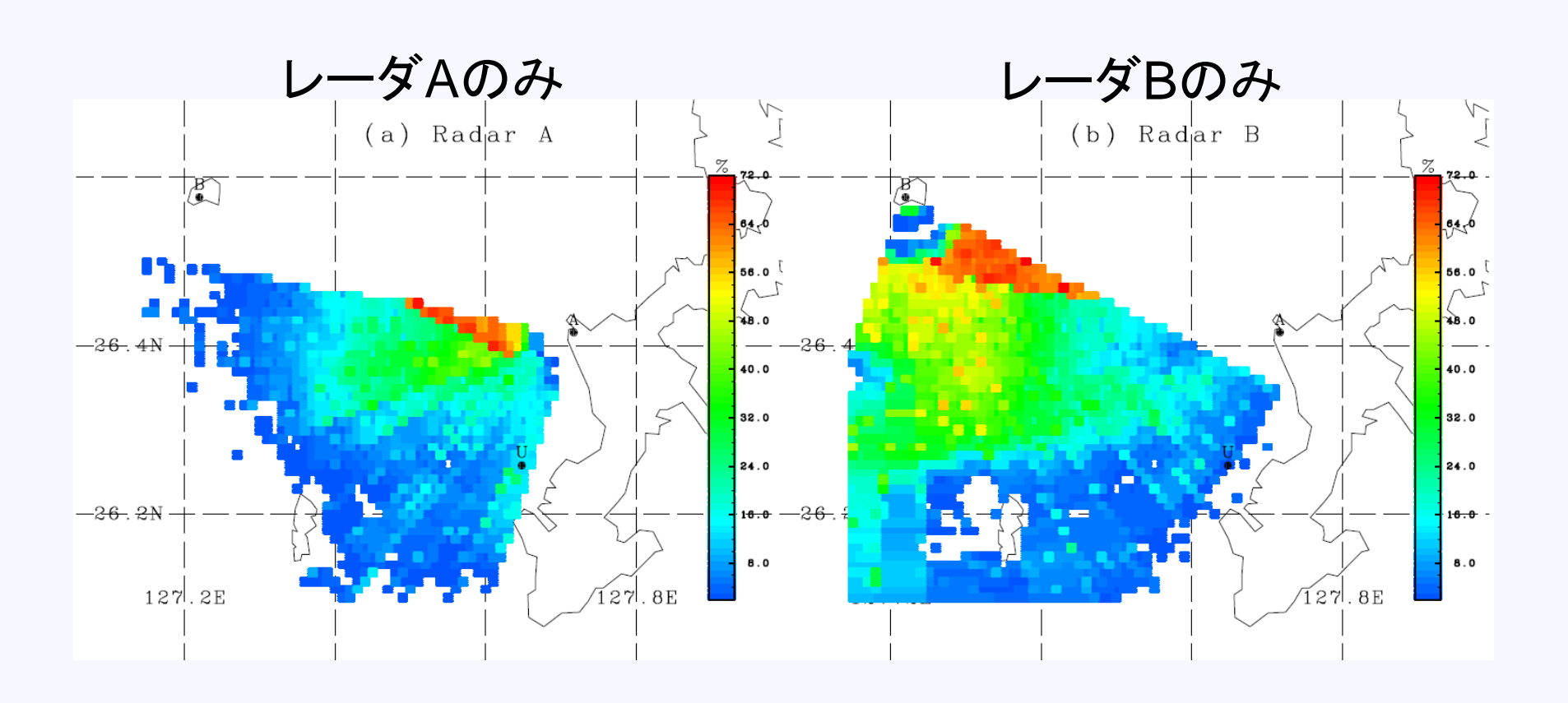
U:波浪観測点:有義波高、有義波周期

#### 解析期間の風(上:アメダス,中:HF,下:NCEP)

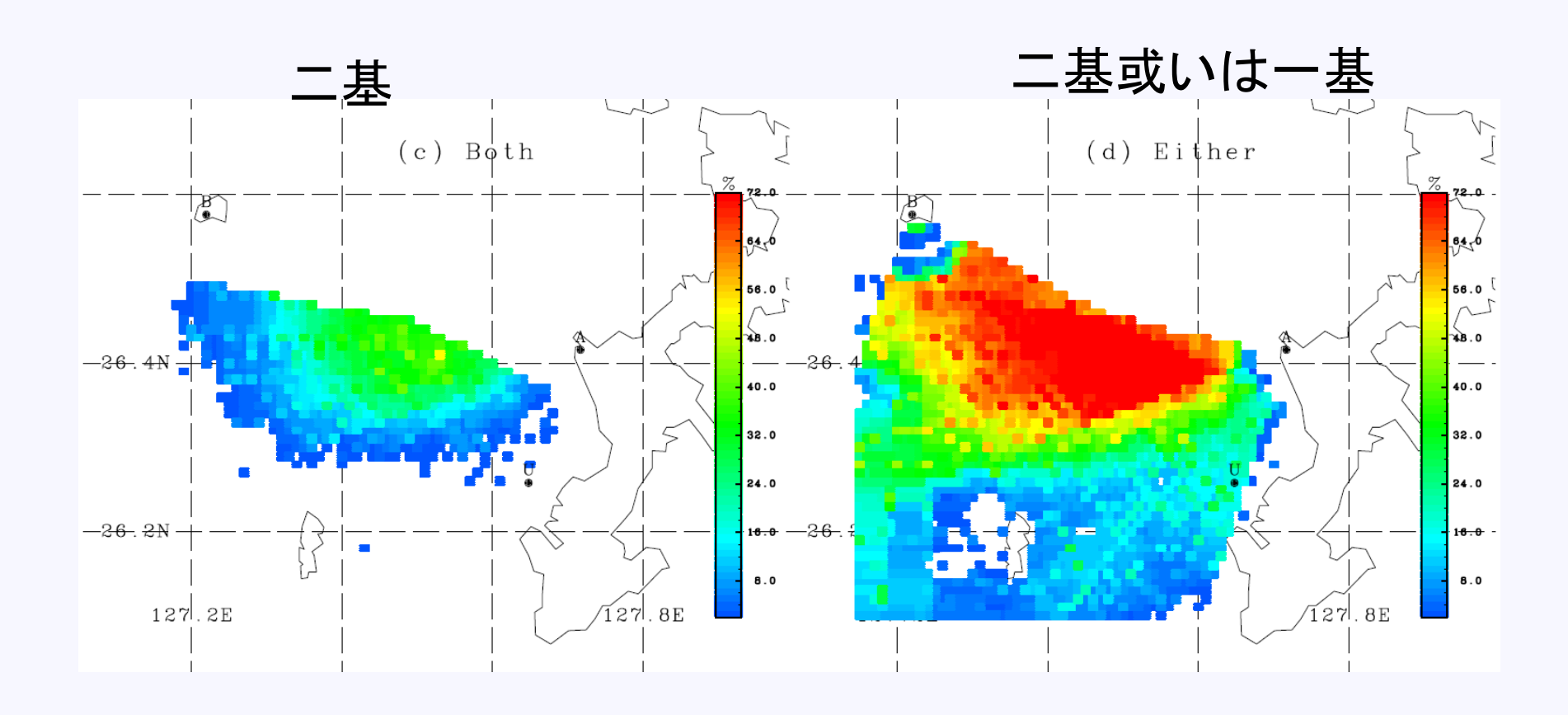




# データ取得率

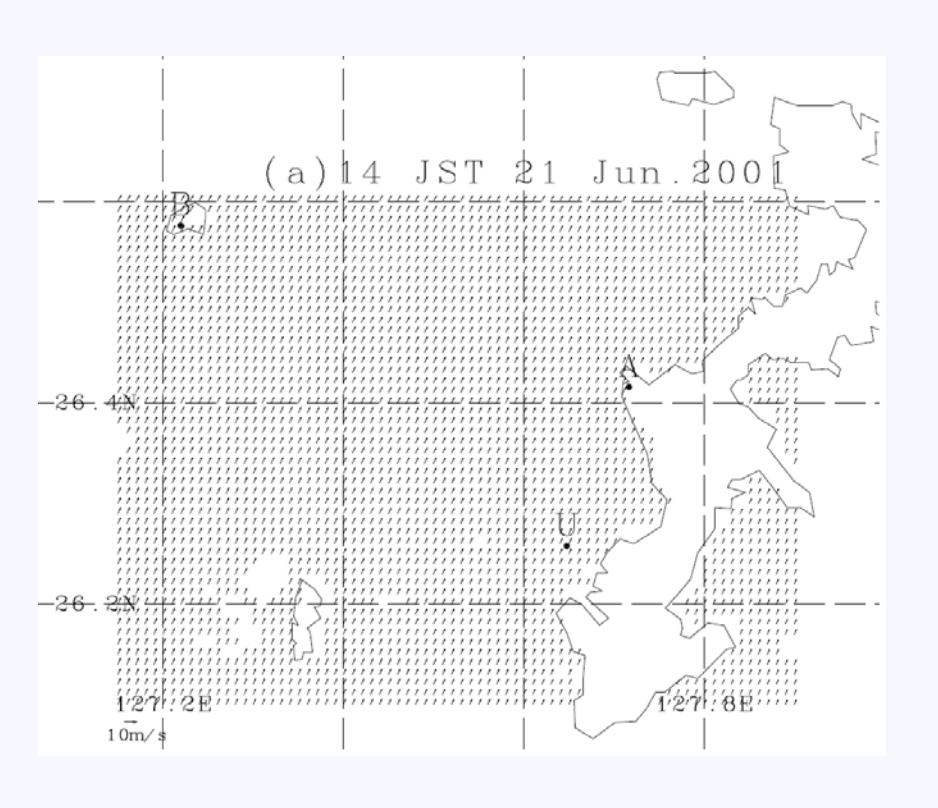


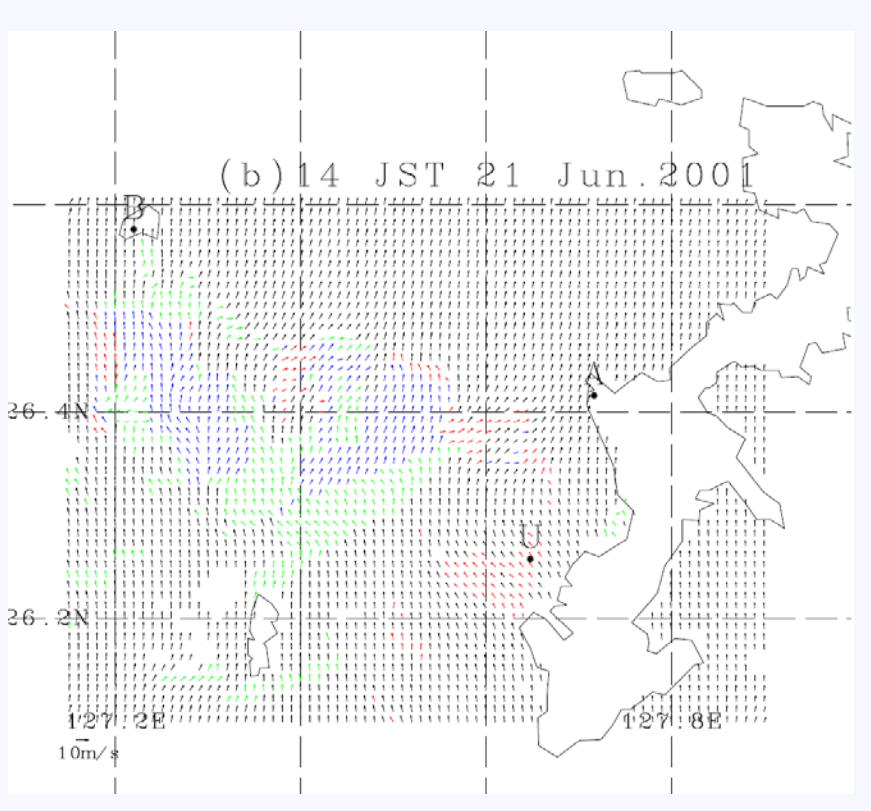
# データ取得率



#### 風速ベクトルの例

(左:NCEP-CFS風,右:HF補正風)





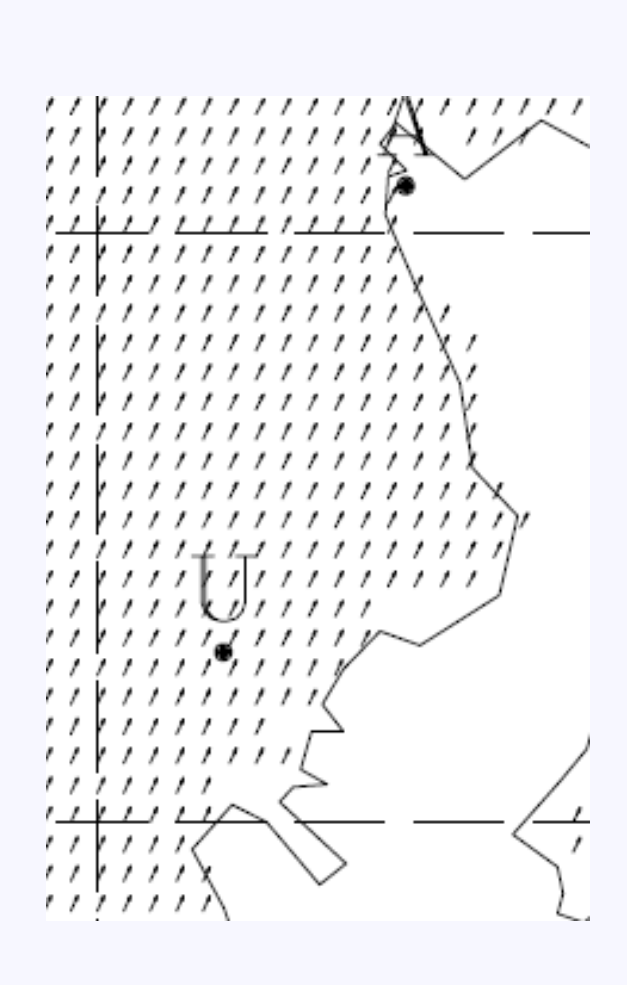
青:2基のレーダから風向推定

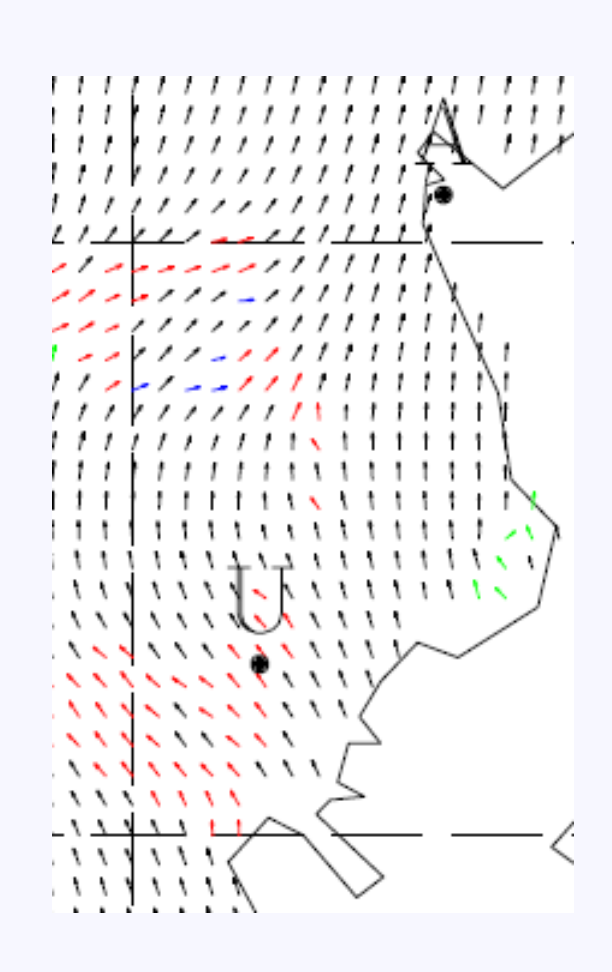
赤:レーダAのみから風向推定

緑:レーダBのみから風向推定

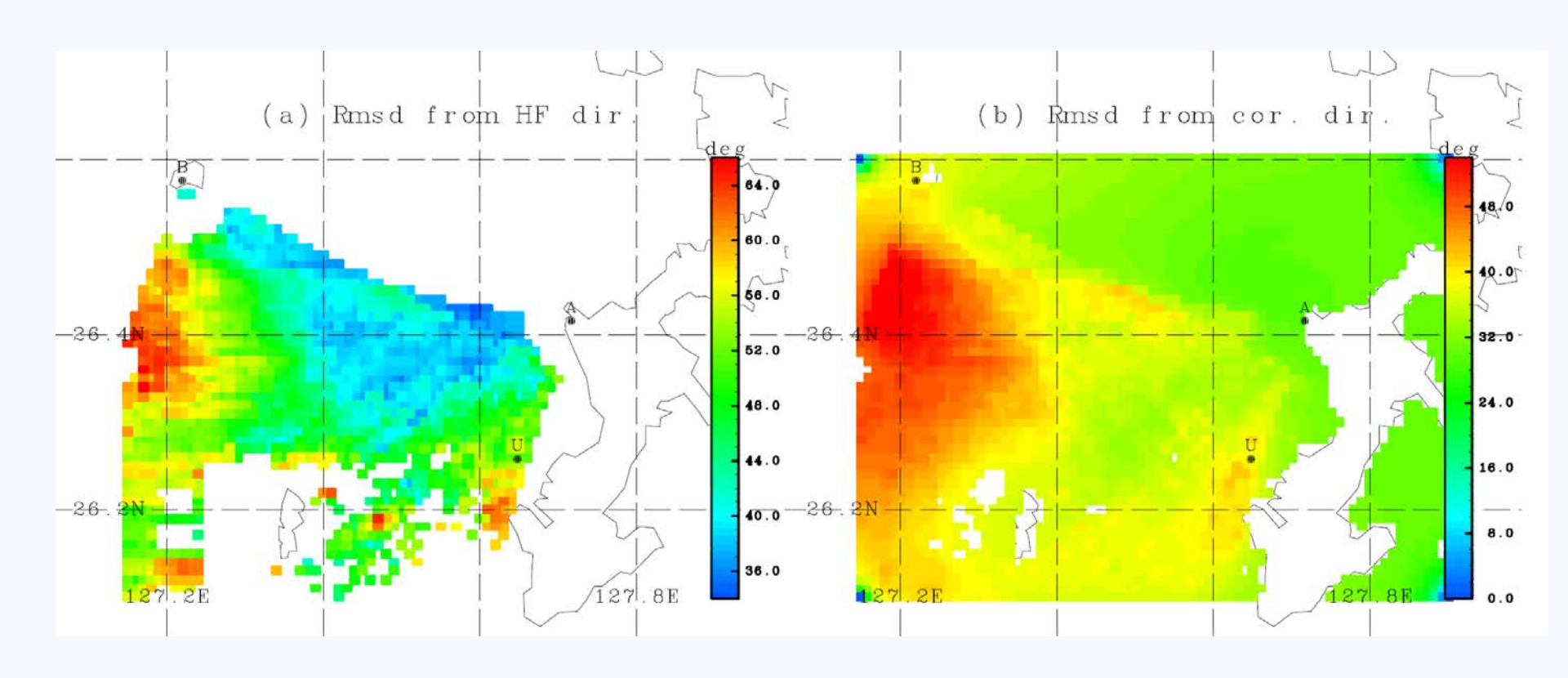
黒:風向補間

# 波浪観測点付近を拡大

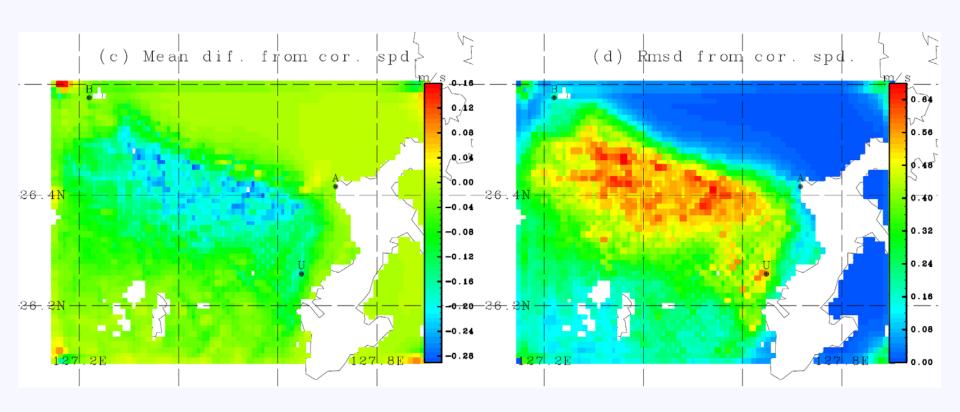




#### 風向の比較(RMSD)

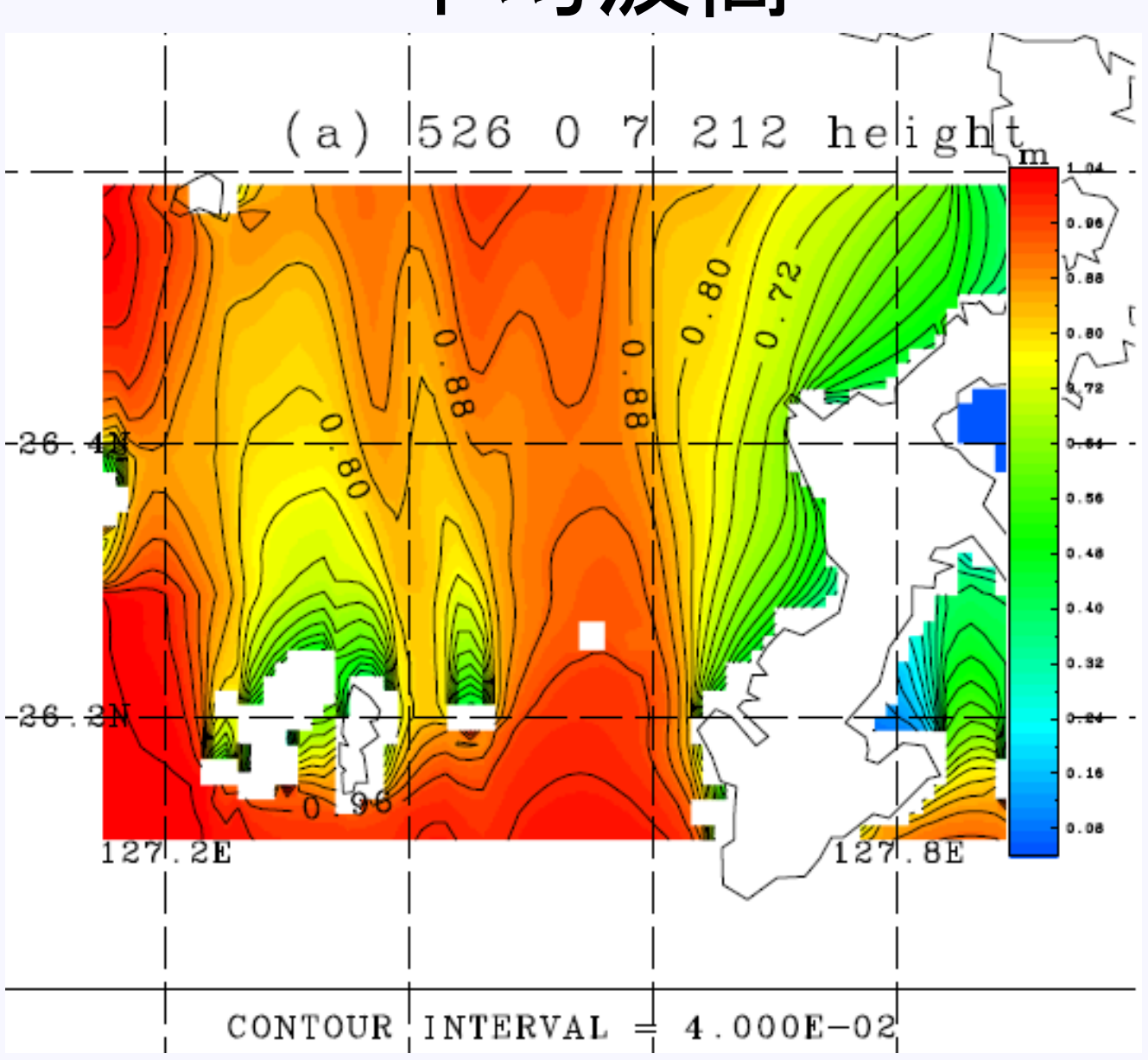


HFとNCEP風。一次散乱比からHFの 風向が得られたものに限定 HFデータから補正した風向と NCEP風向のRMSD

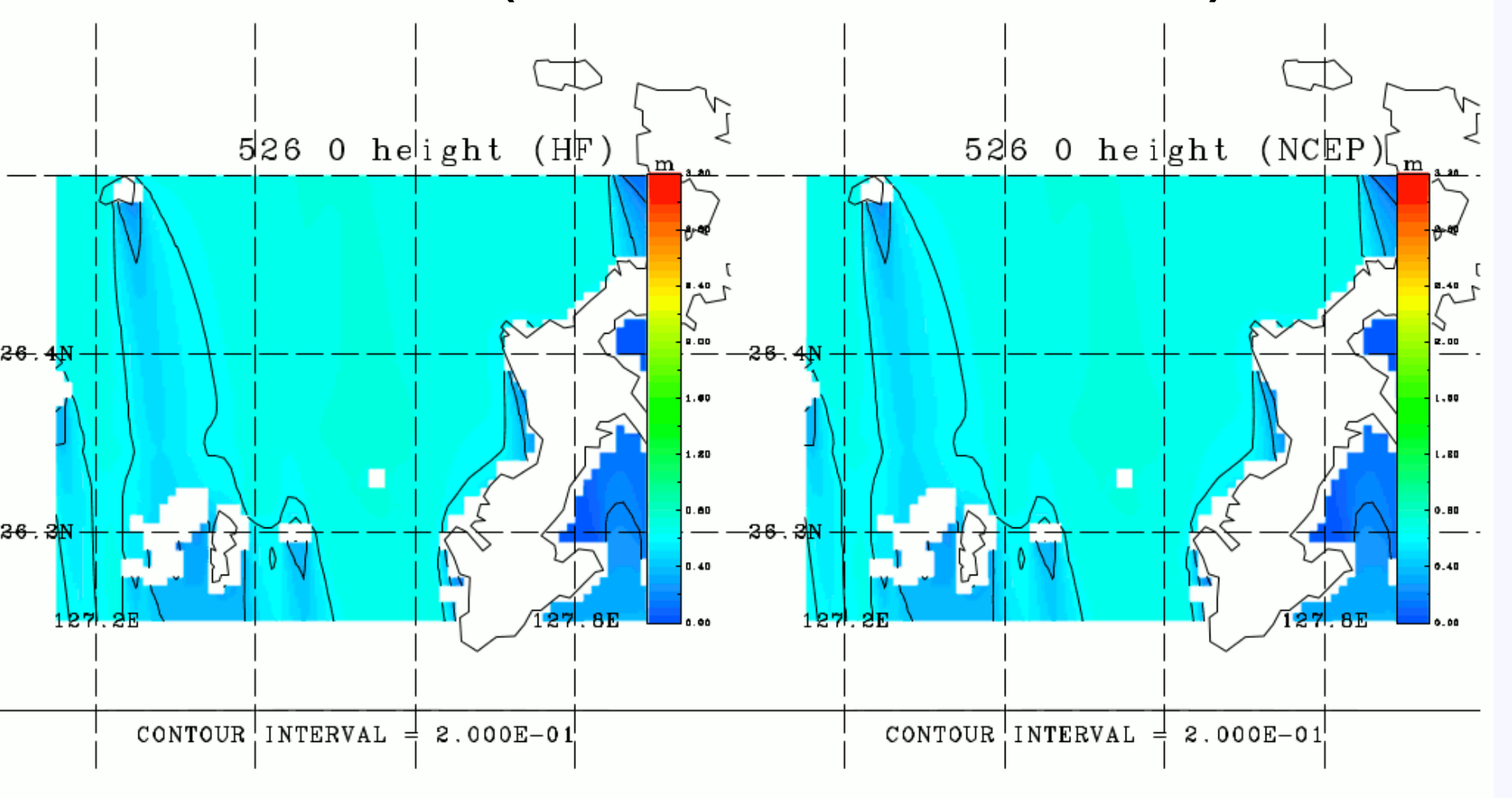


HF補正風速-NCEP風速

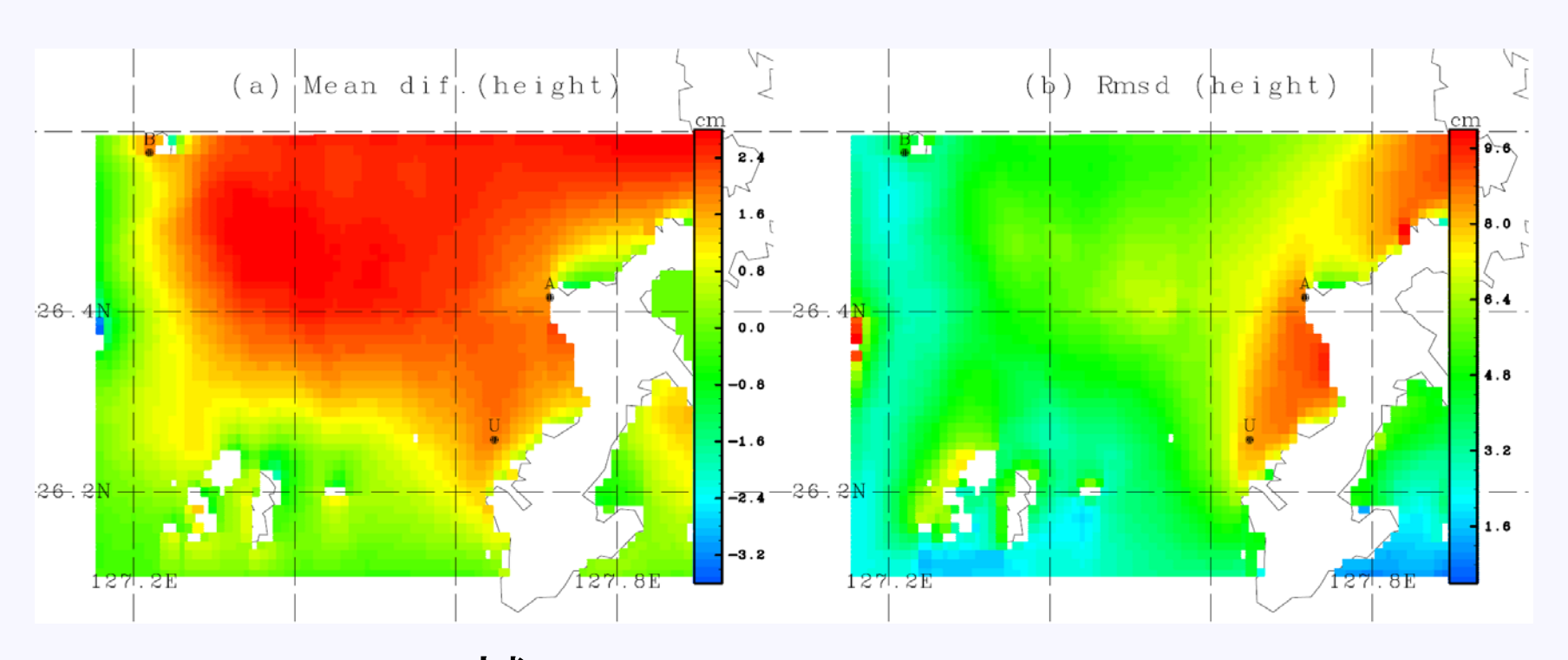
## 平均波高



# 波高(左:HF,右:NCEP)



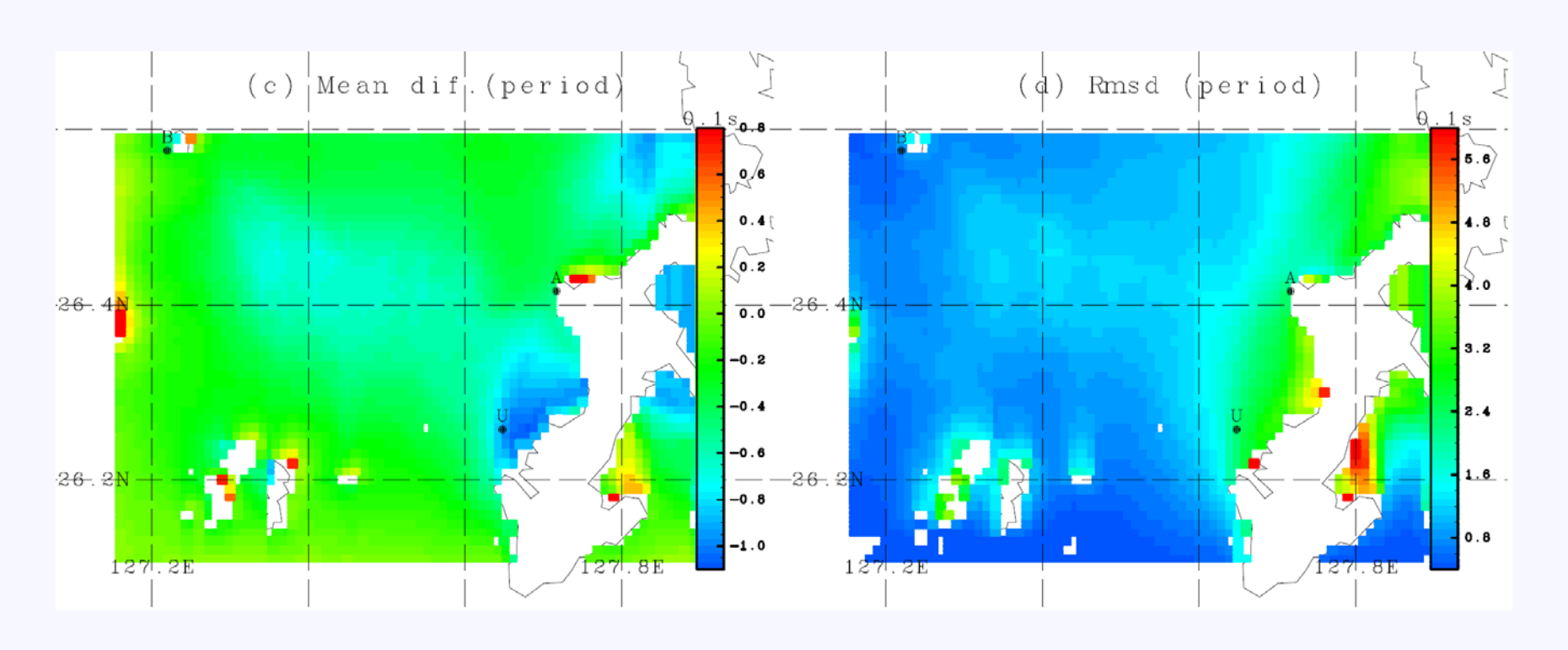
#### 波高の比較(左:平均,右:RMSD)



NCEP風—HF補正風

(cm)

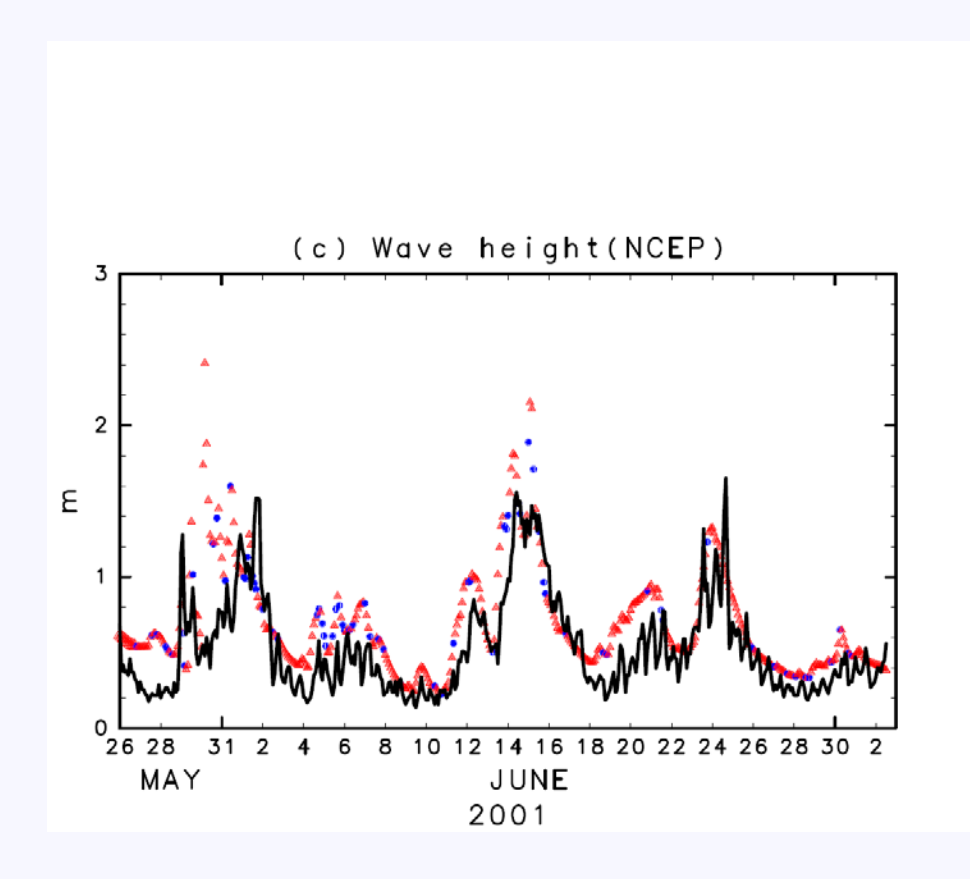
#### 周期の比較(左:平均,右:RMSD)

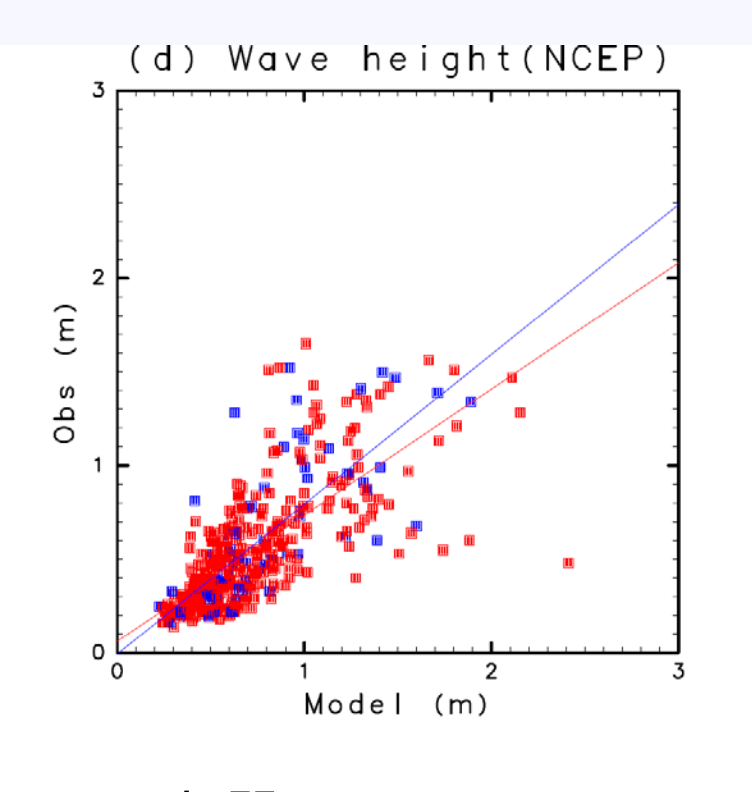


NCEP風—HF補正風

(0.1秒)

#### 波高の比較(NCEP)





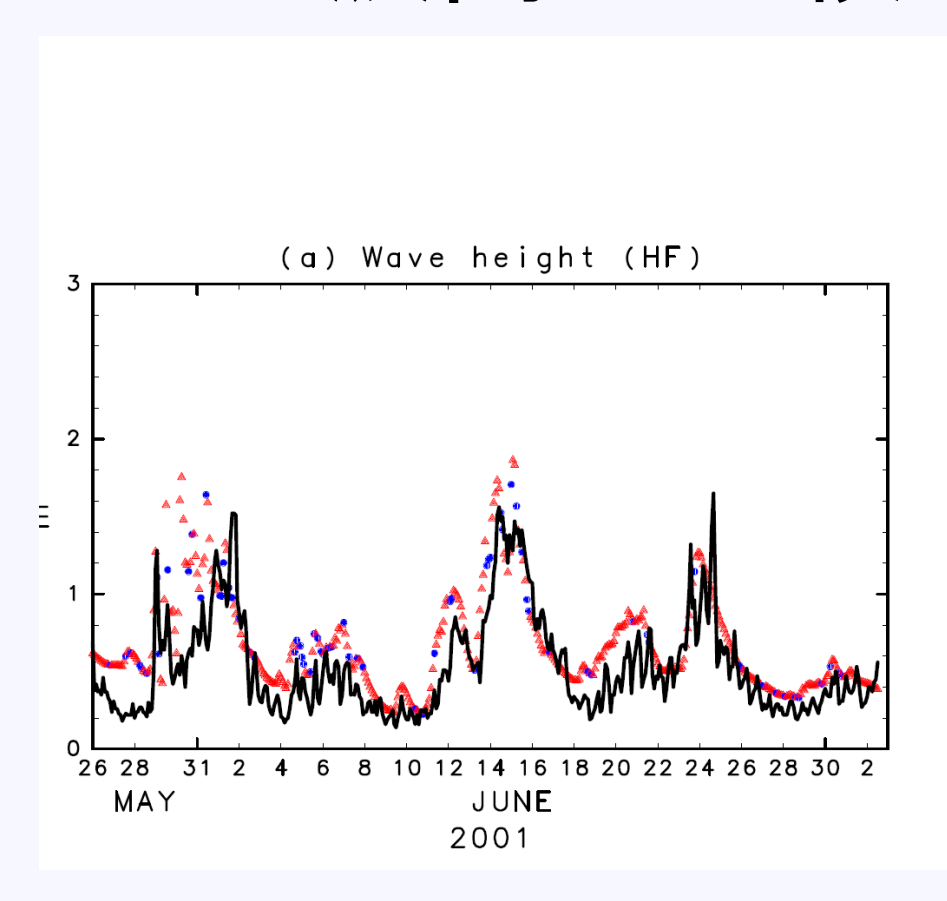
相関:0.73 ,rmsd=0.30 m

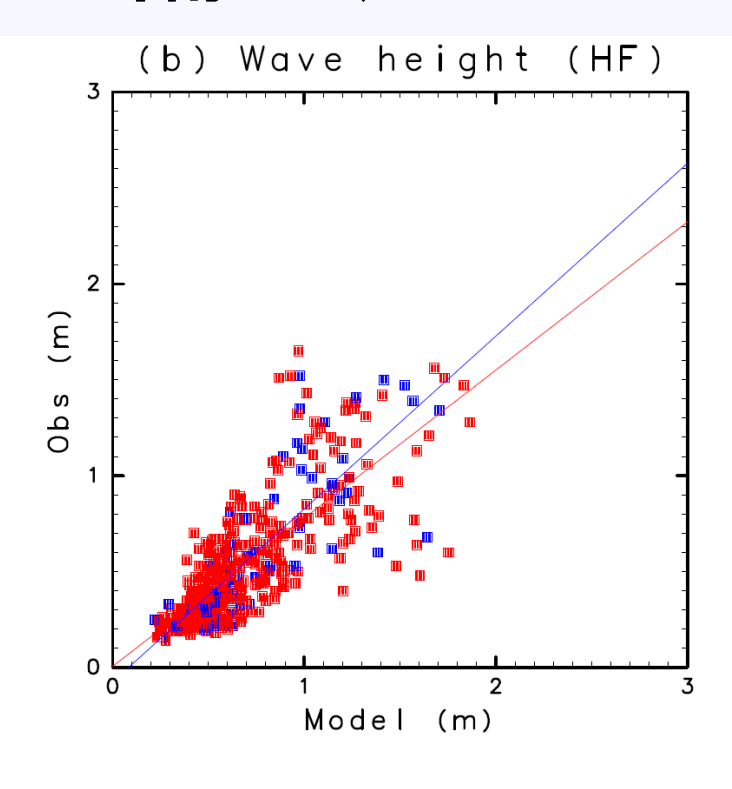
相関:0.76 ,rmsd=0.31 m

黒:観測値(451個)

青:推算値(HF風向は一次散乱比Rより推定:74個)

## 波高の比較(HF補正)





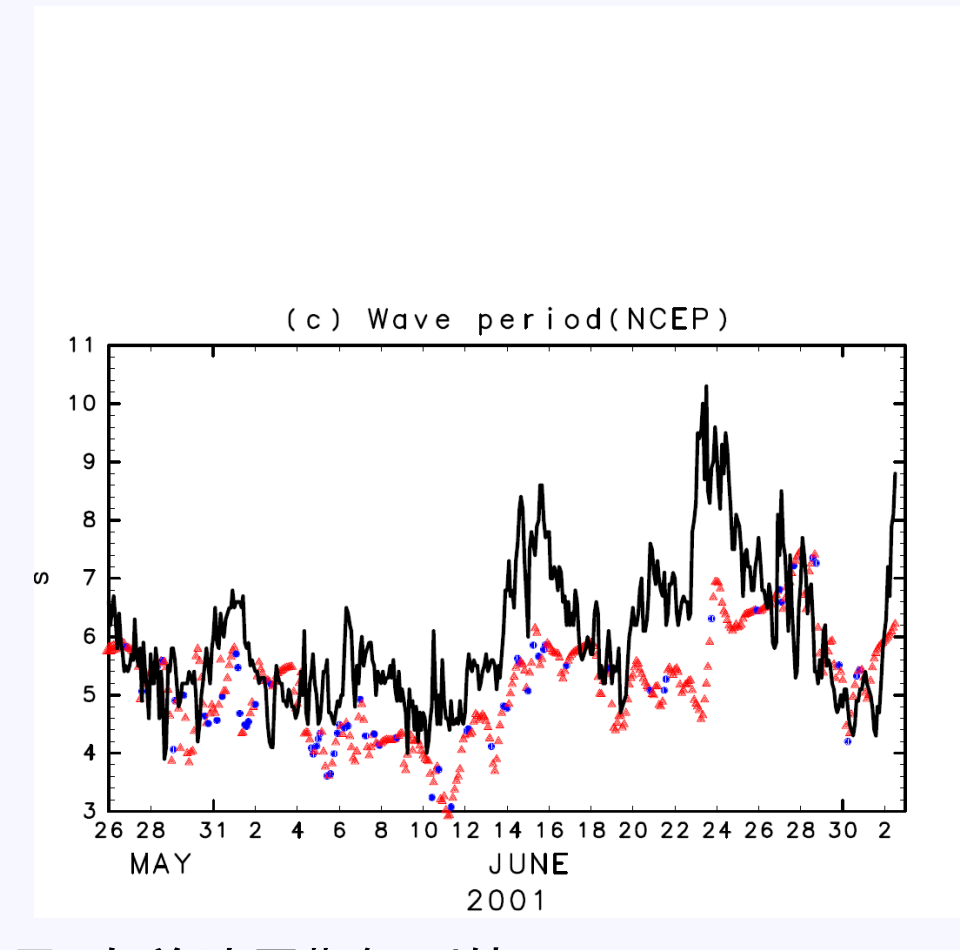
相関:0.78 ,rmsd=0.26 m

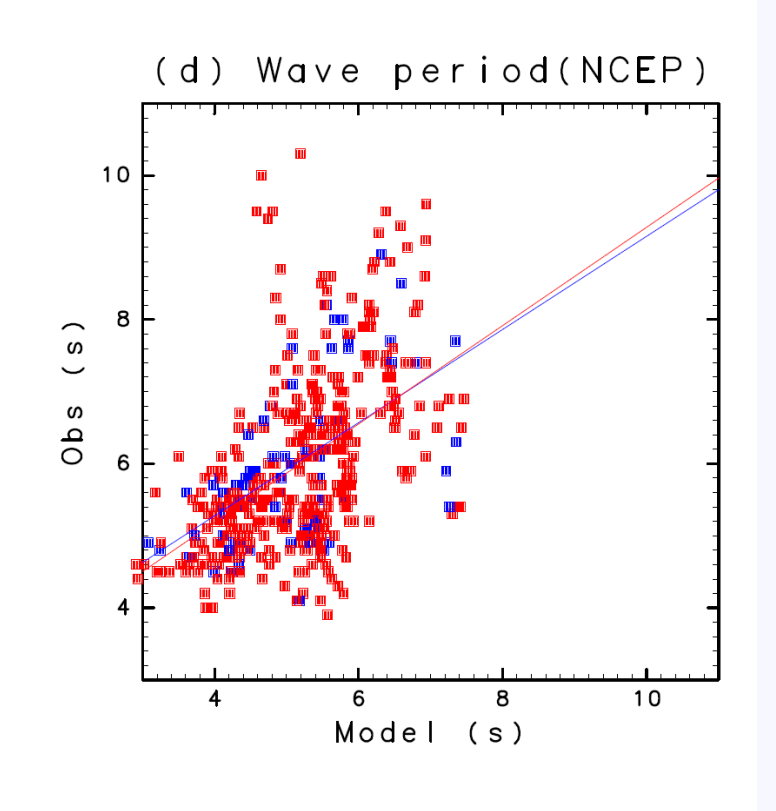
相関:0.82 ,rmsd=0.27 m

黒:観測値(451個)

青:推算値(HF風向は一次散乱比Rより推定:74個)

#### 有義波周期とスペクトル平均周期の比較(NCEP)



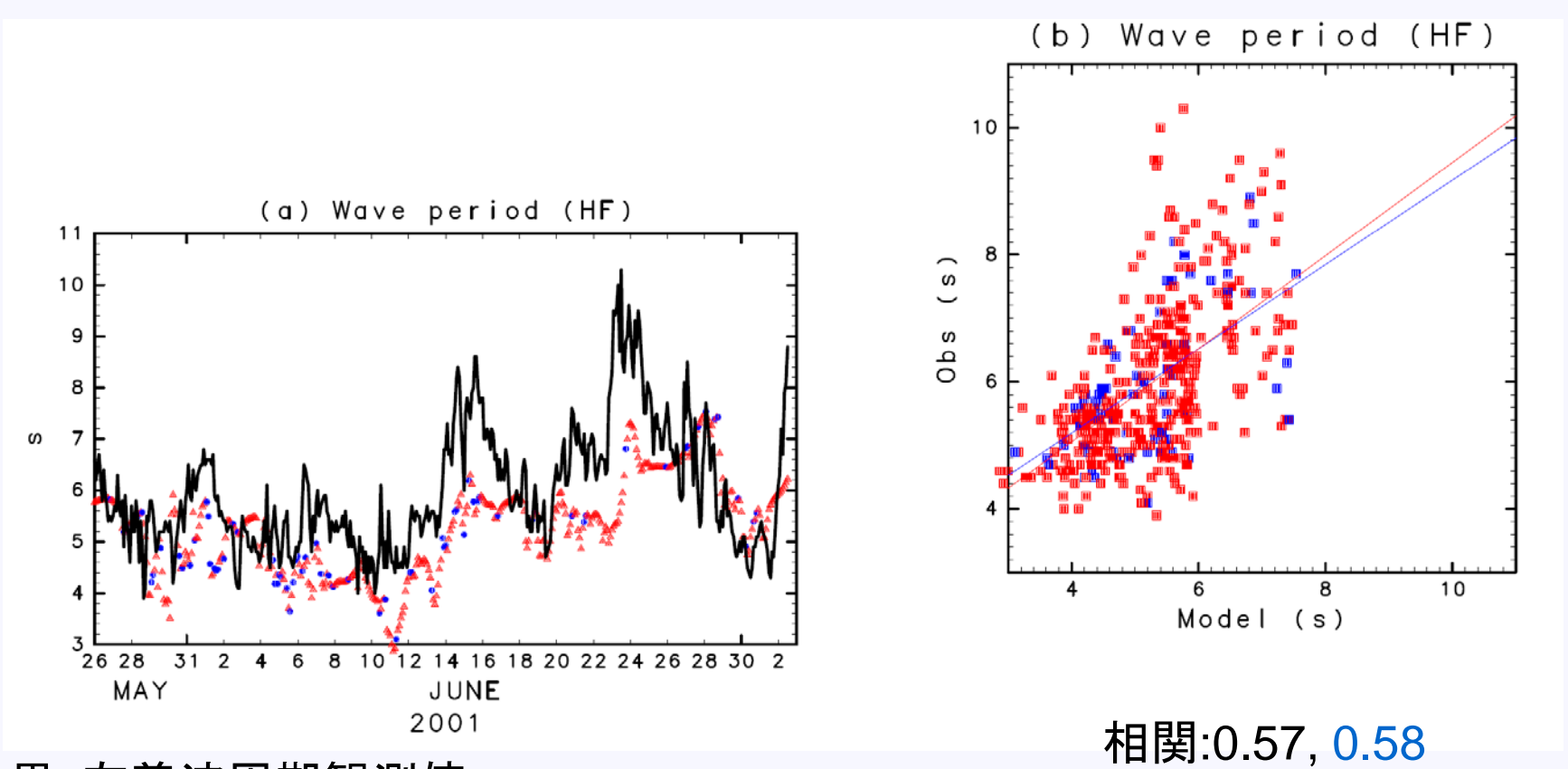


相関:0.52, 0.56

黒:有義波周期観測値

青:推算値(HF風向は一次散乱比Rより推定)

#### 有義波周期とスペクトル平均周期の比較(HF)



黒:有義波周期観測値

青:推算値(HF風向は一次散乱比Rより推定)

#### 波浪パラメータ比較の重み依存性

$a_w$	風速差 $\langle V - V_r \rangle$ (m s <sup>-1</sup> )	波高相関	波高 rms 差 (m)	周期相関
4	-0.17	0.78	0.26	0.57
N/A	0	0.73	0.30	0.52
1	-0.06	0.78	0.26	0.57
16	-0.37	0.78	0.26	0.57
4 (F)	0.08	0.77	0.31	0.59
N/A (F)	0.27	0.74	0.35	0.54

 $\lambda_w = \frac{a_w \Delta x^2 \Delta y^2}{\Delta x^2 + \Delta y^2}.$ 

Δx,y:格子間隔

N/A: NCEP風

Fは予報値による波浪推算

$$Q = \sum_{i,j} (V_c(i,j) - V_r(i,j))^2 + \lambda_w \sum_{i,j} (\nabla \cdot \mathbf{V}_c(i,j) - \nabla \cdot \mathbf{V}_r(i,j))^2$$
$$= \cdot \sum_{i,j} \Delta_{i,j}^2 + \lambda_w \sum_{i,j} D_v(i,j)^2$$

$$\mathbf{V}_r(i,j) = V_r(i,j)(\cos(\theta_r(i,j),\sin(\theta_r(i,j)))$$

$$\mathbf{V}_c(i,j) = ((V_r(i,j) + \Delta_{i,j})(\cos(\theta_w(i,j),\sin(\theta_w(i,j))).$$

Qが最小となるよう風速補正量Δi,jを求める。

Vr:再解析風、Vc:補正風、λw:重み

#### 波浪パラメータ比較の重み依存性

$a_w$	風速差 $\langle V - V_r \rangle$ (m s <sup>-1</sup> )	波高相関	波高 rms 差 (m)	周期相関
4	-0.17	0.78	0.26	0.57
N/A	0	0.73	0.30	0.52
1	-0.06	0.78	0.26	0.57
16	-0.37	0.78	0.26	0.57
4 (F)	0.08	0.77	0.31	0.59
N/A (F)	0.27	0.74	0.35	0.54

 $\lambda_w = \frac{a_w \Delta x^2 \Delta y^2}{\Delta x^2 + \Delta y^2}.$ 

Δx,y:格子間隔

N/A: NCEP風

Fは予報値による波浪推算

#### 目的関数

$$Q = \sum_{i,j} (V_c(i,j) - V_r(i,j))^2 + \lambda_w \sum_{i,j} (\nabla \cdot \mathbf{V}_c(i,j) - \nabla \cdot \mathbf{V}_r(i,j))^2$$
$$= \sum_{i,j} \Delta_{i,j}^2 + \lambda_w \sum_{i,j} D_v(i,j)^2$$

Estimate speed correction  $\Delta_{i,j}$  to minimizeQ.

Vr: reanalysis wind, Vc: Corrected wind, λw: weight

#### Error-permitted wind direction method (EPWDM)

$$Q_p = \sum_{i,j} (V_W \sigma_\theta)^{-2} [\mathbf{n}_\theta(i,j) \cdot \mathbf{V}_c(i,j)]^2 + \sigma_u^{-2} |\mathbf{V}_c(i,j) - \mathbf{V}_r(i,j)|^2$$
$$+ \sigma_D^{-2} [\nabla \cdot (\mathbf{V}_c(i,j) - \mathbf{V}_r(i,j))]^2$$

 $\mathbf{n}_{\theta} = (-\sin(\theta_w(i,j)), \cos(\theta_w(i,j)))$ : unit vector orthogonal to the HF radar-derived wind direction  $\mathbf{n}_w = (\cos(\theta_w(i,j)), \sin(\theta_w(i,j))),$   $\sigma_{\theta}^2$ : error variance of HF radar-derived wind direction,  $V_W$ : parameter  $\sigma_u^2$ : error variance of NCEP wind components.  $\sigma_D^2 = (\Delta x^2 + \Delta y^2)/[2(\Delta x^2 \Delta y^2)]\sigma_u^2$ .

#### Error-permitted wind direction method (EPWDM)

$$Q_p = \sum_{i,j} (V_W \sigma_\theta)^{-2} [\mathbf{n}_\theta(i,j) \cdot \mathbf{V}_c(i,j)]^2 + \sigma_u^{-2} |\mathbf{V}_c(i,j) - \mathbf{V}_r(i,j)|^2$$
$$+ \sigma_D^{-2} [\nabla \cdot (\mathbf{V}_c(i,j) - \mathbf{V}_r(i,j))]^2$$

$$\partial Q_p/\partial \mathbf{V}_c=\mathbf{0}$$
 Linear Equation

#### Vr: reanalysis wind, Vc: Corrected wind, λw: weight

 $\mathbf{n}_{\theta} = (-\sin(\theta_w(i,j)), \cos(\theta_w(i,j)))$ :unit vector orthogonal to the HF radarderived wind direction

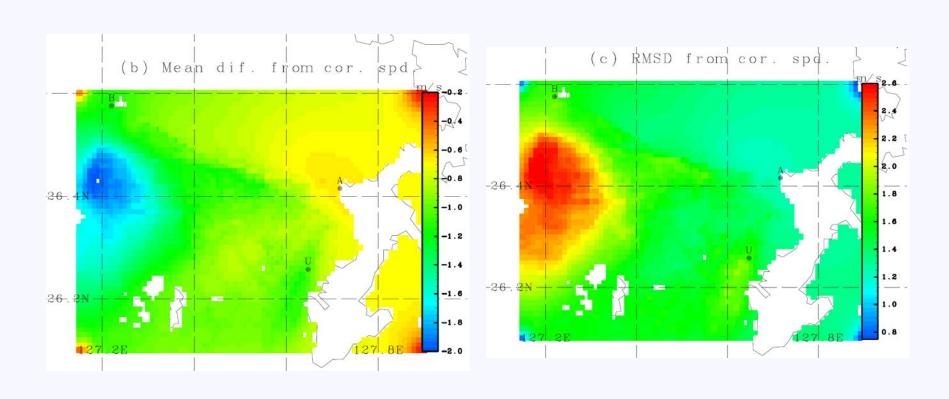
 $\mathbf{n}_w = (\cos(\theta_w(i,j)), \sin(\theta_w(i,j))),$ 

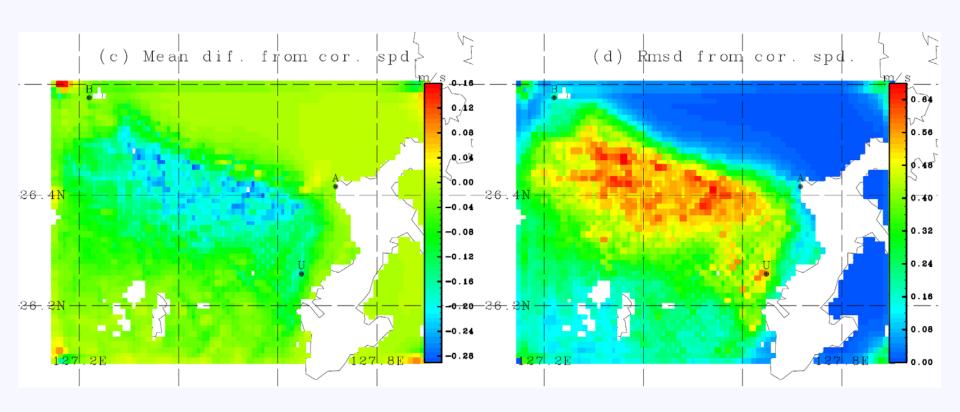
 $\sigma_{\theta}^2$ : error variance of HF radar-derived wind direction,

 $V_W$ : parameter

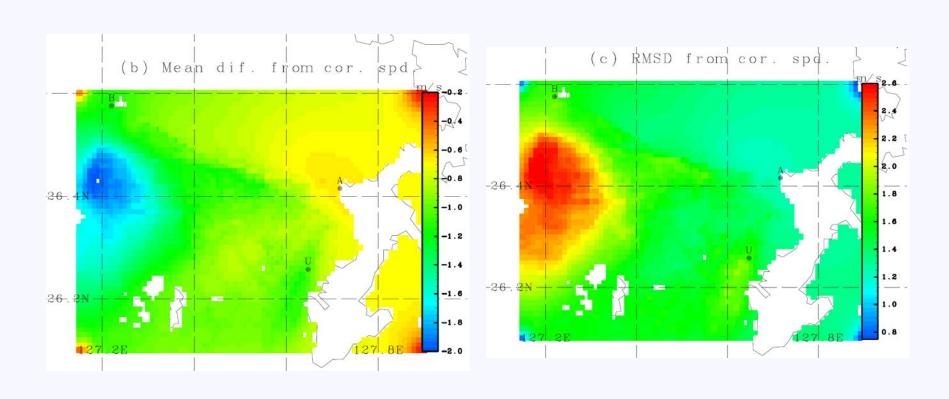
 $\sigma_u^2$ : error variance of NCEP wind components.

 $\sigma_D^2 = (\Delta x^2 + \Delta y^2)/[2(\Delta x^2 \Delta y^2)]\sigma_u^2.$ 





HF補正風速-NCEP風速: 前のスライド



#### EPWDMとの比較

	$V_w$	Wind speed dif.	Cor.	Height	Period
	$(m s^{-1})$	$\langle V - V_r \rangle \text{ (m s}^{-1})$	of waveheight	RMSD(m)	Cor.
Case 2-1	1	-0.92	0.76	0.25	0.58
Case 2-2	4	-0.25	0.74	0.28	0.54

	Weight	Wind speed dif.	Cor. of	RMSD of	Cor. of
	$a_w$	$\langle V - V_r \rangle \text{ (m s}^{-1} \text{)}$	waveheight	waveheight (m)	wave period
Case 1	4	-0.17	0.78	0.26	0.57
Case 2	N/A	0	0.73	0.30	0.52
Case 3	1	-0.06	0.78	0.26	0.57
Case 4	16	-0.37	0.78	0.26	0.57
Case 5	4 (F)	0.08	0.77	0.31	0.59
Case 6	N/A (F)	0.27	0.74	0.35	0.54

Case 2,6:NCEP winds F:from forecasted winds

#### Error-permitted wind direction method (EPWDM)

$$Q_p = \sum_{i,j} (V_W \sigma_\theta)^{-2} [\mathbf{n}_\theta(i,j) \cdot \mathbf{V}_c(i,j)]^2 + \sigma_u^{-2} |\mathbf{V}_c(i,j) - \mathbf{V}_r(i,j)|^2$$
$$+ \sigma_D^{-2} [\nabla \cdot (\mathbf{V}_c(i,j) - \mathbf{V}_r(i,j))]^2$$

$$\partial Q_p/\partial \mathbf{V}_c=\mathbf{0}$$
 Linear Equation

#### Vr: reanalysis wind, Vc: Corrected wind, λw: weight

 $\mathbf{n}_{\theta} = (-\sin(\theta_w(i,j)), \cos(\theta_w(i,j)))$ :unit vector orthogonal to the HF radarderived wind direction

 $\mathbf{n}_w = (\cos(\theta_w(i,j)), \sin(\theta_w(i,j))),$ 

 $\sigma_{\theta}^2$ : error variance of HF radar-derived wind direction,

 $V_W$ : parameter

 $\sigma_u^2$ : error variance of NCEP wind components.

 $\sigma_D^2 = (\Delta x^2 + \Delta y^2)/[2(\Delta x^2 \Delta y^2)]\sigma_u^2.$ 

#### EPWDMとの比較

	$V_w$	Wind speed dif.	Cor.	Height	Period
	$(m s^{-1})$	$\langle V - V_r \rangle \text{ (m s}^{-1})$	of waveheight	RMSD(m)	Cor.
Case 2-1	1	-0.92	0.76	0.25	0.58
Case 2-2	4	-0.25	0.74	0.28	0.54

	Weight	Wind speed dif.	Cor. of	RMSD of	Cor. of
	$a_w$	$\langle V - V_r \rangle \text{ (m s}^{-1} \text{)}$	waveheight	waveheight (m)	wave period
Case 1	4	-0.17	0.78	0.26	0.57
Case 2	N/A	0	0.73	0.30	0.52
Case 3	1	-0.06	0.78	0.26	0.57
Case 4	16	-0.37	0.78	0.26	0.57
Case 5	4 (F)	0.08	0.77	0.31	0.59
Case 6	N/A (F)	0.27	0.74	0.35	0.54

Case 2,6:NCEP winds F:from forecasted winds

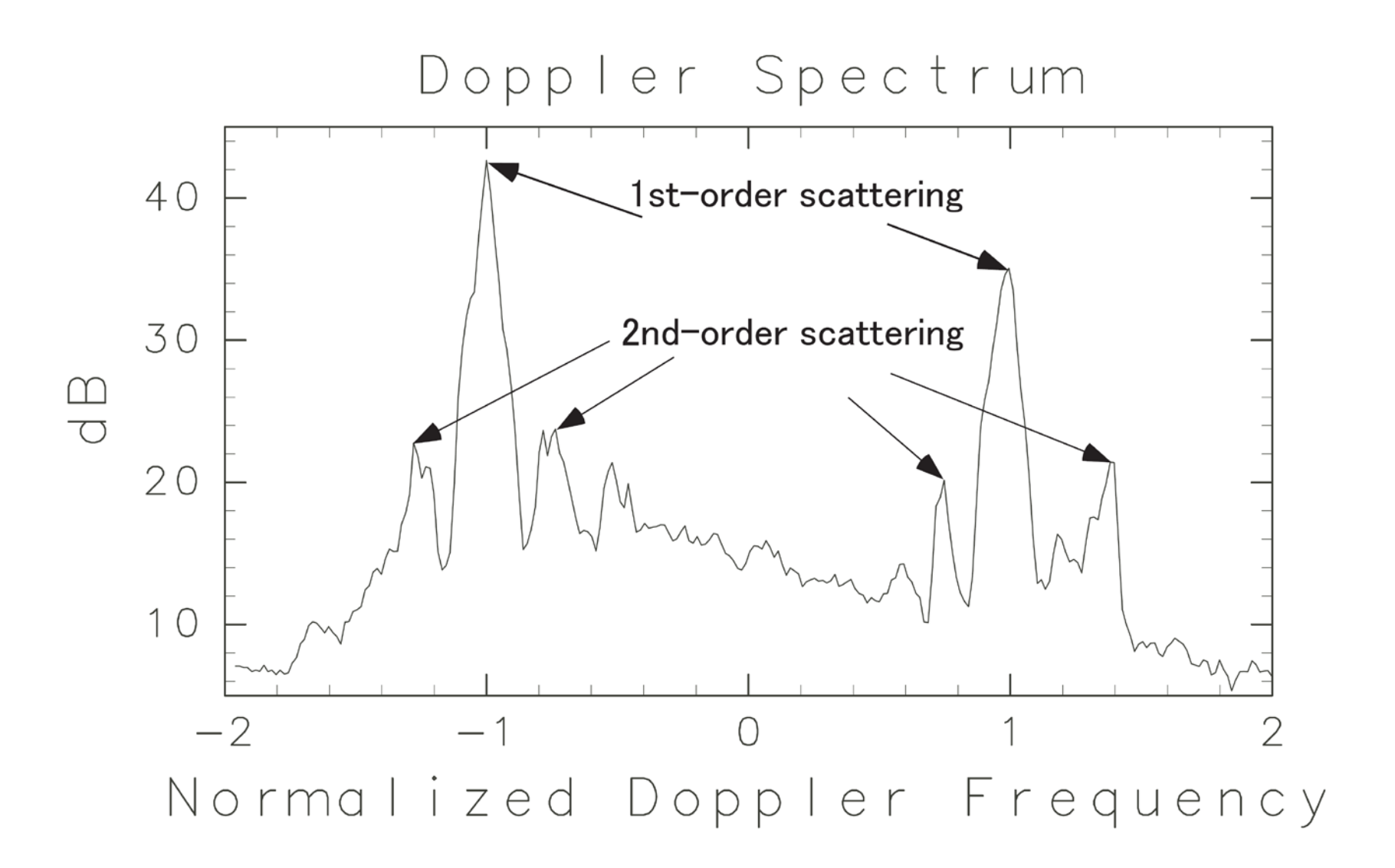
## まとめと今後の課題

- 海洋レーダから得られた風向を用いて、再解析風データを補正する手法を開発した。
- 海洋レーダから得られた風向の活用は、島嶼 沿岸域のような、吹走距離が風向によって大 きく変化する海域の波浪推算に有効である。

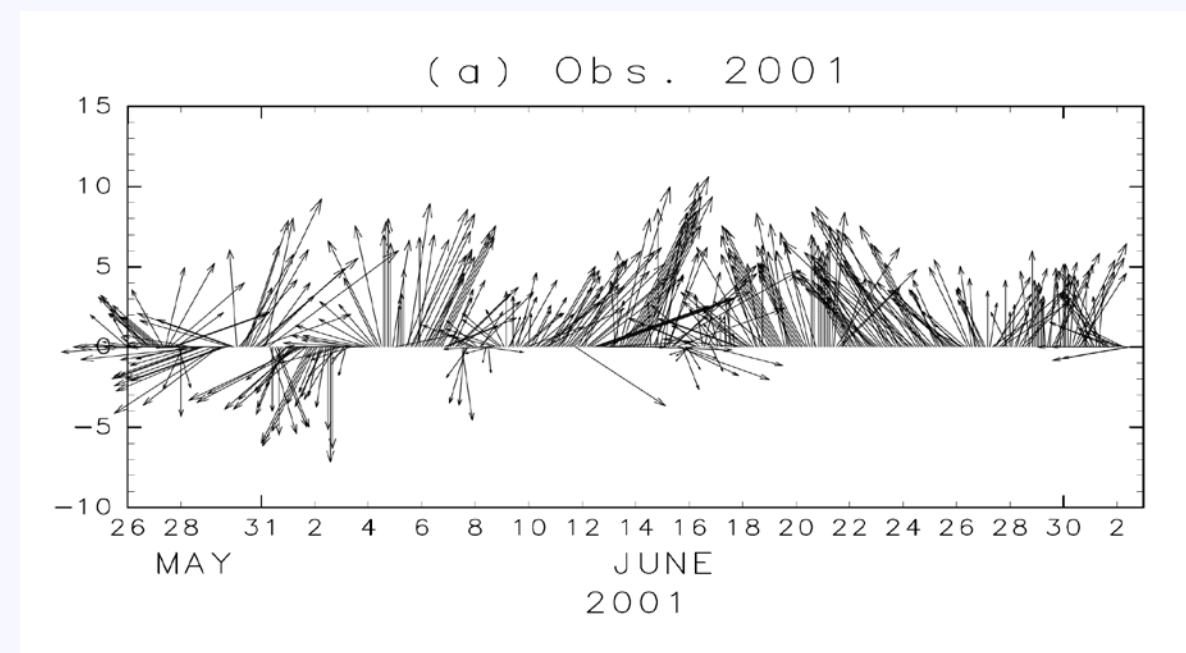
- 補正した風速の現場観測の比較
- 表層流による検証
- 風向の空間補間方法の改良
- 目的関数の改良

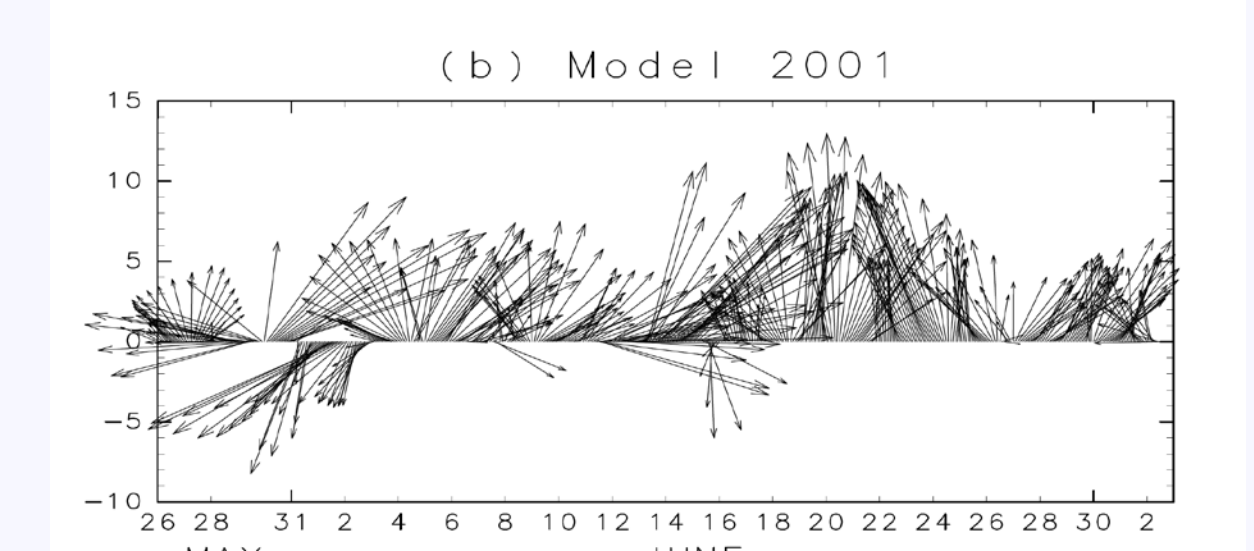


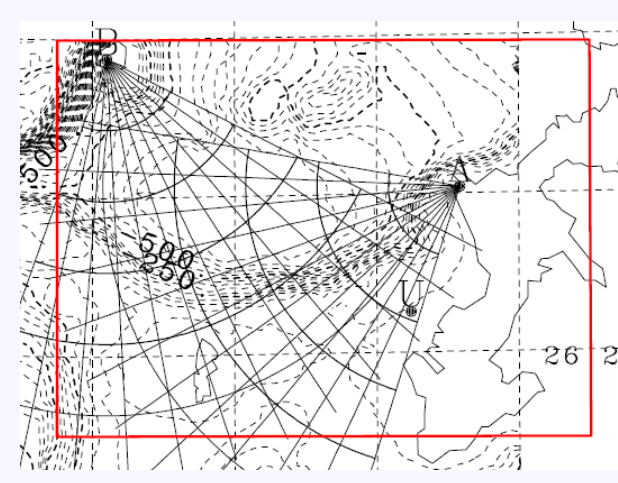
#### Example of Doppler spectra(DS)



#### 解析期間の風(上:アメダス,下:NCEP)







## 使用データ

radar area NCEP—CFS風 分解能:約0.3度 6時間ごとの解析値 と1時間ごとの予報値 500 26 予報値の誤差を6時間で50 ごとの解析値で 26N 127 8E

0.01度